

203-25 長崎地区を対象とした可変メッシュ大気拡散シミュレーション
(計算時間にについて)

長崎大学工学部 正員〇牟都幸一
長崎大学工学部 粟須正登
長崎県 八並誠

1 語 言

長崎県で昭和51年より、表1 計算式および発生源

	無風時 $U \leq 0.3 \text{ m/sec}$	有風時 $U > 0.3 \text{ m/sec}$	発生源
発生源	ハロフ式	アーレム式	ハイテ等
大気汚染防止対策を進める上で	タクシタ源、ハロフ近似	タクシタ源、アーレム近似	自重力車、船舶等
発生源、気象および環境測定を行った。この結果を基礎として	"	"	自動車等

現況把握と将来予測を目的とする、大気汚染予測シミュレーションを行つてゐる。このシミュレーション手法は、は元環保庁のマニアルに基づくものであり、污染予測物質としては窒素酸化物を採用としている。このようシミュレーションは各自治体が保有する計算機を用いて行うべきである。しかししながらセニア的大学や、民間の多セニアガ所有する高価計算機を一自治体が所有することは困難であり、多大な計算時間を要するのである。かゝる結果の適合性を求める場合においては、まず演算の効率化が必要だと考えられる。よって著者らは最近の計算機の大容量性を利用して、次数や値を配列化することによって大幅に計算時間の短縮化を試み結果を得たので次に述べる。

2 計算式および計算範囲

表1に計算方法を示す、図1に計算範囲および発生源対象地域を示す。計算は行政メッシュ三次コードを4分割したX、Yを単位(497m × 586m) 図1 計算対象範囲

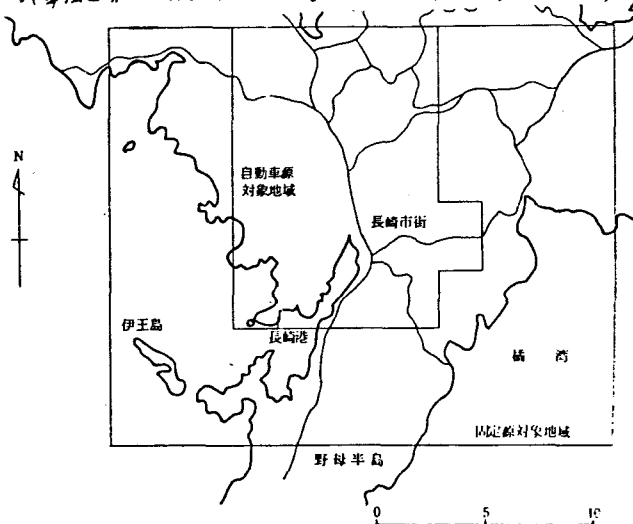
とし、東西および南北にそれぞれに40に分け、それまでの交差(40×40)1600点で濃度を求めた。

3 演算速度について

表2 対数および配列の速度 (10^5 回)

対数	T (sec)	比
$\alpha = x \cdot y$	0.18	2.6
$\alpha = e^x$	1.64	23.4
$\alpha = x^y$	2.97	42.4
$\alpha = a(i)$	0.07	1.0
$\alpha = a(j, j)$	0.20	2.8
$\alpha = a(i, j, k)$	0.38	5.4

なるべく低次の配列を用いることが望ましい。



4 計算時間の短縮について

4.1 線源、面源と可変メッシュ

線源や面源を正確に行う場合には積分が必要となる。このことは計算に多大な時間を要することとなり、これをさけるため、一束源への近似や、特別な場合の積分値を利用した方法が見受けられる。しかししながらこれらの場合には拡散幅に伴う修正等が必要となるため、全てを1~16束の束源に分けて計算を行った。

図2に線源および面源の場合を示す。束源の個数は2種

以内(約4メッシュ)では16束、5km(4~10メッシュ)では4束、5km以上(10~40メッシュ)では1束源としてとりあつた。またアルームでは各方向の拡散幅も同時に考慮して計算した。このような場合メッシュ内等の密度が必要となる場合誤差を生じるので、高密度を示す地区ではメッシュの大きさを任意に細かくし局地的引数を求めていろ。

4.2 アルームにおける考慮

輻射時の地表濃度は次式で示される(注、表面に平行)

$$C(x, y; t) = \sum_{i=1}^l g_i \sum_{j=1}^m \frac{1}{SXY(j, t)} \exp\left(-\frac{R_i^2}{SXY(j, t)}\right)$$

$$\cdot \exp\left(-\frac{He_i^2}{SXY(j, t)}\right) \cdot at \quad (1)$$

$$\begin{aligned} \therefore t &= R_i^2 : (x_i - x)^2 + (y_i - y)^2 & x_i, y_i, x, y & : 発生源および計算実験場 \\ SXY(j, t) &= \frac{1}{(2\pi)^2} \sigma_x(t)^2 \sigma_y(t)^2 & at & : 20 \text{ sec 積分間隔 \\ } SXY &= 2\sigma_x(t)^2 + v^2 2\sigma_y(t)^2 & \sigma_x = \partial_x T \sigma_x \quad \sigma_y = \partial_y T \sigma_y \\ m &= 360 \text{ mesh } = 2 \text{ hour } & l = 708 & : 発生源個数 \end{aligned}$$

計算束数1600束あるので I^3 、 ∂_x 、 ∂_y の回数および時間(CPU)を求める

$$I^3 : 2 \times l \times m \times 1600 = 2 \times 708 \times 360 \times 1600 \div 8 \times 10^8 = 23760 \text{ sec}$$

$$\partial_x : \quad " \quad " \quad " \quad 13120 \text{ sec}$$

ヒリヤ用的でもある。よって $SXY(j, t)$ 等が x^3 を用いており、この値は時間だけの函数であるので、一次元の配列に代入した。次に(1)式の左辺は g_i 、 R_i 、 He_i の函数とみなし、次式で近似した。

$$C(x, y, t) = \sum_{i=1}^l g_i F(R_i, He_i) = \sum_{i=1}^l g_i F(R_n + \Delta R, He_n + \Delta H) \div \sum_{i=1}^l g_i \left\{ F(R_n, He_n) + \frac{\partial F}{\partial R} \Delta R + \frac{\partial F}{\partial He} \Delta H \right\} \quad (2)$$

$\therefore t = n = 1 \sim 300$, $m = 1 \sim 100$ である。以上の結果 I^3 の回数は約4000回である。

4.3 アルーム式における考慮

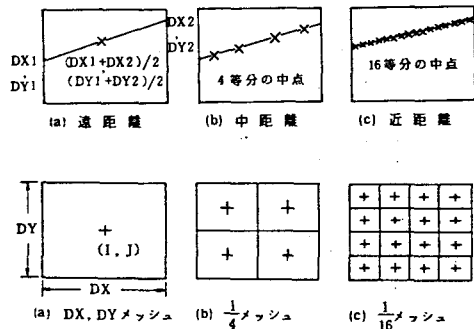
アルーム式では t 、壁や地下距離によって変化するため I^3 の回数が多くなる。よってアルーム式では $SXY = \pi \sigma_x \sigma_y \sigma_z$ を次式により近似した。

$$SXY(x) = SXY(X_n + \Delta X) \approx SXY(X_n) + \frac{\partial SXY}{\partial X} \Delta X \quad (3) \quad n = 1 \sim 6000 \quad X_n - X_{n-1} = 5m$$

また ∂_x についても0.05m隔間に求め配列化した。

5 結論

以上のようないくつかの考慮により全ての場合の時間は約4000回で短縮され、近似を行なわなければ場合との誤差はPPMのオーダであり見かけ上大きな誤差はない。使用計算機は長大情報処理センターFACOM M180AD



(a) DX, DY メッシュ (b) $\frac{1}{4}$ メッシュ (c) $\frac{1}{16}$ メッシュ